

بررسی تجربی تشکیل زئولیت‌های مولینویت و ژیسموندین با استفاده از محلول‌های قلیایی لیتیم‌دار در شرایط گرمابی

سارا پولادیان^۱، علی کنانیان^{۱*}، علیرضا بدیعی^۲

۱- دانشکده زمین‌شناسی، دانشکده علوم، دانشگاه تهران، تهران، ایران

۲- دانشکده شیمی، دانشکده علوم، دانشگاه تهران، تهران، ایران

(دریافت مقاله: ۹۸/۳/۱۸، نسخه نهایی: ۹۸/۷/۱)

چکیده: در این پژوهش، سنتر گرمابی زئولیت‌های مولینویت و ژیسموندین از ماده اولیه پرلیت، به عنوان تامین کننده سیلیس و آلومینیوم مورد نیاز واکنش، در شرایط قلیایی و در دمای ثابت ۱۵۰ درجه سانتیگراد به مدت ۳ روز بررسی شده است. در همه آزمایش‌ها از یک نمونه پودر پرلیت بدون انجام هیچ گونه پالایشی استفاده شده و همه واکنش‌ها در اتوکلاوهای گرمابی تلفونی انجام شد. برای شناسایی فرآورده‌های تغییر فاز یافته، از پراش سنج پرتو ایکس (XRD) و برای بررسی ریختار فرآورده‌های واکنشی از میکروسکوپ الکترونی روبشی (SEM) استفاده شد. نتایج نشان می‌دهد که در غلظت ۰/۲۵ مول بر لیتر LiOH، تنها مولینویت به عنوان اولین فاز شروع به تبلور می‌کند. با افزایش غلظت LiOH به ۰/۵ مول بر لیتر، ژیسموندین نیز در کنار مولینویت تشکیل می‌شود و در صورتی که غلظت LiOH به ۳ مول بر لیتر برسد، تولید ژیسموندین بر تولید مولینویت غلبه می‌یابد.

واژه‌های کلیدی: پرلیت؛ زئولیت؛ تغییر فاز؛ مولینویت؛ ژیسموندین.

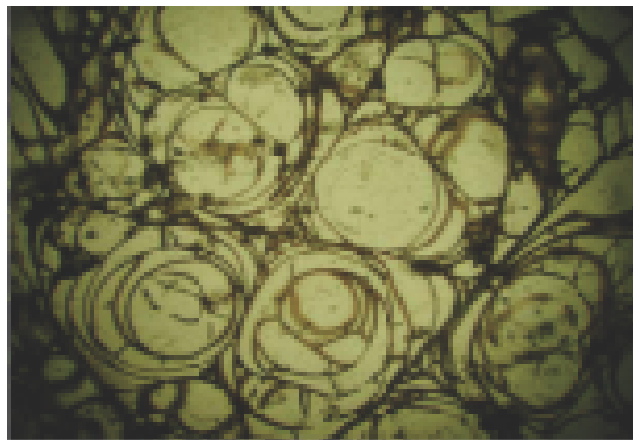
بررسی بسیاری از پژوهشگران بوده است [۱۰-۶]. همچنین بررسی‌های آزمایشگاهی متنوعی پیرامون سنتر زئولیت‌های لیتیم‌دار در حضور محلول‌های LiOH انجام شده است [۱۱-۱۳].

ماده اولیه استفاده شده در این پژوهش، پرلیت با ترکیب سنگ‌شناسی اسیدی تا حد واسط بوده و فرآورده‌ای سنتزی نیز شامل زئولیت‌های مولینویت و ژیسموندین بوده است. زئولیت‌ها گروهی از آلومینوسیلیکات‌های حفره‌دار بوده که به منظور برقراری توازن باری، شامل کاتیون‌های قابل تعویض از عناصر قلیایی به قلیایی خاکی هستند و نیز توانایی جذب و از دست دادن ملکول‌های آب را دارند [۱۴]. پرلیت از نظر سنگ‌نگاری به عنوان شیشه ریولیتی آبدار با بافت پرلیتی معروف می‌شود (شکل ۱). در صنعت، هر سنگ

زئولیت‌ها مواد بلورین با تخلخل میکروسکوپی و در بردارنده هیدرات آلومینوسیلیکات قلیایی یا قلیایی خاکی هستند. ساختار سه بعدی آن‌ها در اصل از چهاروجهی‌های SiO_4 و AlO_4 که با به اشتراک گذاشتن یک اکسیژن به یکدیگر متصل هستند، تشکیل شده است. این کانی‌ها دارای حفره‌ها و کانال‌های بزرگی هستند که به منظور برقراری توازن باری، پذیرای کاتیون‌های قابل تعویض از عناصر قلیایی و قلیایی خاکی می‌شوند [۱-۵].

اثر محلول‌های قلیایی بر سنگ آتش‌فشاری پرلیت و تغییر فاز و پایداری آن در محیط گرمابی با pH‌های متفاوت در شرایط آزمایشگاهی در حضور سیال‌های شامل کاتیون‌های قلیایی و قلیایی خاکی سال‌ها موضوع

*نویسنده مسئول، تلفن: ۰۲۱ ۶۱۱۲۴۹۳، نامبر: ۰۲۱ ۶۶۴۹۱۶۲۳، پست الکترونیکی: kananian@ut.ac.ir



شکل ۱ تصویر شکستگی پرلیتی در یک شیشه ریولیتی در زیر نور قطبی. عرض میدان دید ۱/۸ میلیمتر است [۱۵].

احتمال حضور کاتیون‌های Na^+ , Ca^{2+} , K^+ و Ba^{2+} در جایگاه‌های C2 (زرد رنگ) و C3 (سبز رنگ) ۲۰ درصد است. در جایگاه‌های K1 و K2 (قرمز و نارنجی) احتمال جاگیری K^+ و Ba^{2+} به ۴۶ درصد می‌رسد [۲۳].

کانی ژیسموندین با فرمول $\text{Ca}_2\text{A}_{14}\text{Si}_4\text{O}_{16}\text{O}(\text{H}_2\text{O})$ در سیستم تک میل تشکیل می‌شود. ژیسموندین در محیط‌های زیر اشباع از سیلیس، درون حفره‌های بازالت و یا در آخرین مرحله دگرسانی گرمابی حضور دارد [۲۴]. چون این کانی در طبیعت همیشه همراه با فیلیپسیت دیده می‌شود، دمای تبلور آن بین ۲۵ درجه سانتی‌گراد در شرایط سطح زمینی تا ۹۰ درجه سانتی‌گراد در شرایط زیر زمینی برآورده شده است [۲۵]. ساختار ژیسموندین بر اساس رده بندی ساختاری ارائه شده برای انواع زئولیتها از نوع GIS است (تصویر بالایی شکل ۳). در این ساختار، دو سری از حلقه‌های چهار عضوی با اتصال دو گانه به وسیله زنجیرهای میلنگی دو گانه به هم متصل شده‌اند (تصویر پایینی شکل ۳). این زنجیره‌های دو گانه میلنگی موازی با محورهای a و b قرار گرفته‌اند (شکل ۴). در ساختار ژیسموندین، کلسیم به وسیله دو اکسیژن چارچوب ساز و چهار ملکول آب احاطه می‌شود [۲۷].

آنچه که تولید کانی مولینویت را به طور مصنوعی مهم می‌سازد، نادر بودن این کانی، توان جذب یونی بسیار بالا و وجود انواع مولینویت با ترکیب‌های کاتیونی متفاوت است. مولینویت با استفاده از ژل‌های آلومینو سیلیکاتی دربردارنده پتاسیم [۲۸-۳۰]، سدیم-پتاسیم

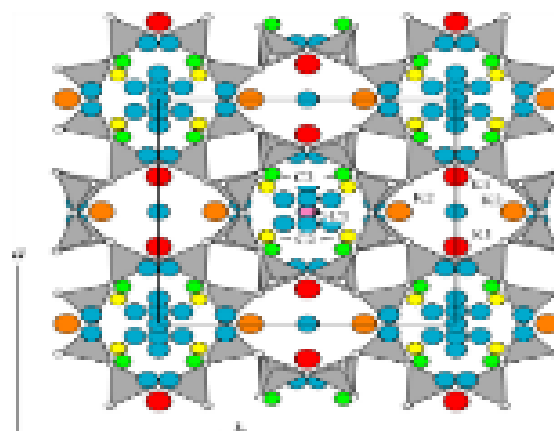
فلسی آبدار که با دما افزایش حجم پیدا کند را پرلیت می‌نامند [۱۵، ۱۶]. امروزه پرلیت را نتیجه‌ی آب‌گیری ابسیدین می‌دانند و برای پرلیت خاستگاه ثانویه در نظر می‌گیرند [۱۷-۲۰].

تا کنون، بیش از ۴۰ نوع کانی زئولیت طبیعی کشف و بیش از یکصد و پنجاه نوع زئولیت مصنوعی سنتز شده است [۲۱]. تعیین ترکیب شیمیایی مولینویت به دلیل وجود عناصر مختلف در کانال‌های ساختاری آن، امری مشکل است. این کانی دارای سیستم بلوری راستگوشی دوهمرمی بوده و ترکیب شیمیایی اولیه ارائه شده توسعه کاشاف مولینویت، $\text{K}(\text{Ca}, \text{Na}, \text{Ba})_7\text{Si}_{23}\text{Al}_{19}\text{O}_{64}23(\text{H}_2\text{O})$ نشان دهنده بود تعداد کافی از فلزات قلیایی برای برقراری تعادل بار الکترویکی در آن است. گرچه در این ترکیب دو عنصر پتاسیم (K) و کلسیم (Ca) سازای اصلی محسوب می‌شوند، ولی در انواع معرفی شده آن شاهد جانشینی‌های گستردگی هستیم. برای مثال، مولینویت می‌تواند تا ۳ اتم باریم در هر واحد ملکولی خود بپذیرد [۲۲]. ساختار کلی سری مولینویت در شکل ۲ نشان داده است.

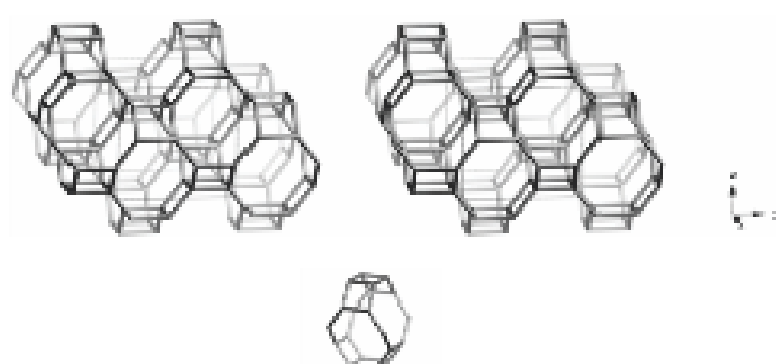
ساختار مولینویت شامل زنجیرهای چهارحلقه‌ای در یک آرایش میلنگی با پراکندگی ناهمگن سیلیسیوم و آلومینیم است. کانال‌های موجود در ساختار مولینویت به وسیله حلقه‌های هشت عضوی محدود شده‌اند (موازی با محورهای a و b). چنان‌که در شکل ۳ نشان داده شده است، ۳۰ درصد احتمال دارد که جایگاه C1 توسط کاتیون‌های Ca^{2+} و Na^+ اشغال شود، در حالی که

ژیسموندین در صنعت تولید مواد شوینده و تصفیه آب پر کاربرد است، با این حال پژوهش‌های اصولی کمی پیرامون سنتز کانی‌های گروه ژیسموندین انجام شده است [۳۶-۳۷].

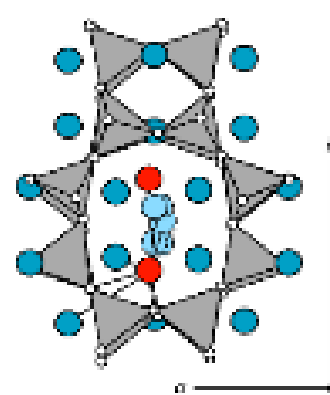
[۳۳-۳۱] و سنگ‌های طبیعی مانند پومیس، ابسیدین و توف آندزیتی در محلول‌های قلیایی سنتز شده است [۳۶-۳۴]. کانی ژیسموندین یک زئولیت نادر در طبیعت است و به داشتن ساختاری بسیار انعطاف‌پذیر و توانایی بالا در جذب یون کلسیم شناخته می‌شود. از این رو،



شکل ۲ ساختار کانی مرلینویت [۲۴، ۲۳].



شکل ۳ بالا: ساختار ژیسموندین در راستای [100]. پایین: ساختار زنجیر میلنگی دوگانه [۲۵].



شکل ۴ مدل هم آرای کانی ژیسموندین. علائم آبی پرنگ: ملکول آب آزاد، قرمز: کاتیون کلسیم و آبی روشن: ملکول آب پیوندی را نشان می‌دهند [۲۵].

حضور دو کانی نهان بلور سانیدین و آلبیت در ترکیب آن است (شکل ۵ الف). در شکل ۵ ب تصویر SEM نمونه‌ی اولیه دیده می‌شود. به منظور شناسایی ترکیب شیمیایی نمونه اولیه، از روش XRF استفاده شد که نتایج آن در جدول ۱ آورده شده است.

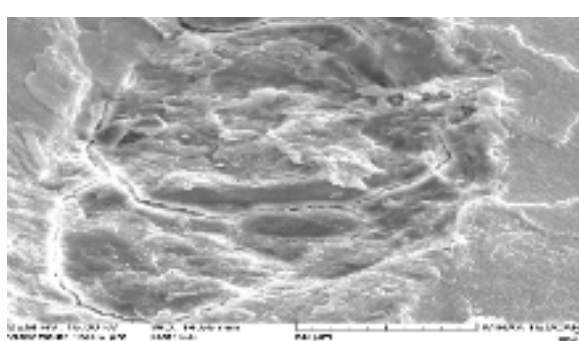
در این پژوهش، دما (150°C)، مدت زمان سنتز (72 ساعت) و مقدار پرلیت اولیه (5 g) ثابت در نظر گرفته شد و اثر غلاظت کاتیون لیتیم در شرایط گرمابی بر دگرسانی پرلیت بررسی گردید. در اینجا از محلول قلیایی هیدروکسید لیتیم (LiOH) با غلاظت‌های مختلف $0.25, 0.5, 1, 2.5, 5$ و 10 M مولار به عنوان منبع یون‌های Li^+ و OH^- استفاده شد. برای تهییه LiOH غلاظت‌های مورد نظر محلول، نخست مقادیر لازم خشک را درون بالن ریخته، مقداری آب مقطر به آن افزوده و مخلوط را به مدت 15 دقیقه روی هم زن مغناطیسی (مدل هیدولف) قرار دادیم تا محلول کاملاً یکساختی به دست آمد. سپس مقدار 5 g پرلیت پودر شده را به آن اضافه کرده و حجم کل محلول را به 100 mL لیتر رسانده و باز برای 30 دقیقه روی همزن قرار دادیم. برای مهیا کردن شرایط گرمابی، محلول آماده شده را به ظروف اتوکلاو تفلونی منتقل کرده و به مدت 72 ساعت در کوره ای با دمای 150°C درجه‌ی سانتی‌گراد قرار دادیم. سپس، اتوکلاو را از کوره خارج کرده و مواد درون آن را در کاغذ صافی ریختیم و پس از چندین بار شستشو با آب مقطر، در دمای اتاق خشک شد.

در پژوهش‌های بسیاری برای سنتز مولینویت و ژیسموندین از پرلیت به عنوان ماده اولیه تامین کننده سیلیس و الومینیوم و از محلول‌های NaOH و KOH برای ایجاد شرایط قلیایی و تامین بخشی از کاتیون‌های مورد نیاز استفاده شده است [۴۰-۴۲، ۳۵]، ولی تاکنون محلول LiOH برای تولید آنها به کار نرفته است. عنصر لیتیم برای محیط زیست عنصری آلوده کننده به حساب می‌آید. از این‌رو، یافتن روشی برای جذب و نگهداری این عنصر در طبیعت دارای اهمیت ویژه‌ای است. با وارد کردن لیتیم به یک کانی زئولیتی، می‌توان به روش موثری برای کنترل پراکنش لیتیم آن دست یافت. با وجود کاتیون‌هایی مانند Na^+ و K^+ در ساختار زئولیت‌ها امکان ورود Li^+ نیز به درون ساختار آنها وجود دارد.

روش بررسی

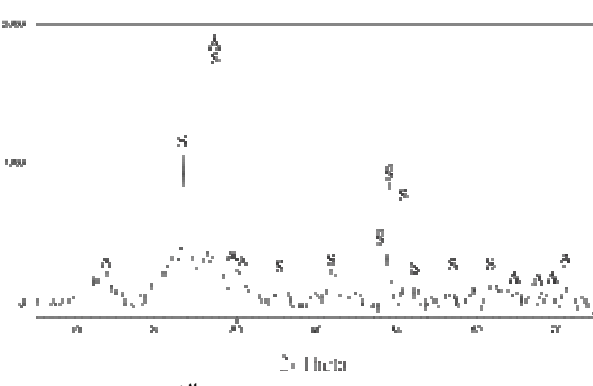
به منظور شناسایی دقیق ترکیب کلی نمونه اولیه و فرآورده‌های جامد از طیفسنجی فلئورسانس پرتوی ایکس (XRF)، پراش پرتوایکس (XRD) و میکروسکوپ الکترونی روبیشی (SEM) مجهر به طیفسنج پراش انرژی پرتوی ایکس (EDX) استفاده شد. ماده‌ی اولیه مورد بررسی که همان پرلیت است بدون خالص سازی مورد استفاده قرار گرفت.

برای شناسایی دقیق ترکیب شیمیایی نمونه‌ی اولیه مقدار 1.5 g از ماده‌ی اولیه توسط هاون چینی به طور کامل پودر شد و توسط دستگاه پراش پرتوایکس (XRD) با گستره زاویه‌ای $2\theta = 10^{\circ}-75^{\circ}$ درجه و با هدف مس در ولتاژ 4 kV بررسی گردید. الگوی پرتوی ایکس پرلیت اولیه نشانگر



ب

شکل ۵ الف) الگوی پراش پرتوایکس (XRD) نمونه‌ی اولیه پرلیت؛ S نشانگر کانی سانیدین و A نشانگر کانی آلبیت است. ب) تصویر SEM از نمونه‌ی اولیه (پرلیت).



الف

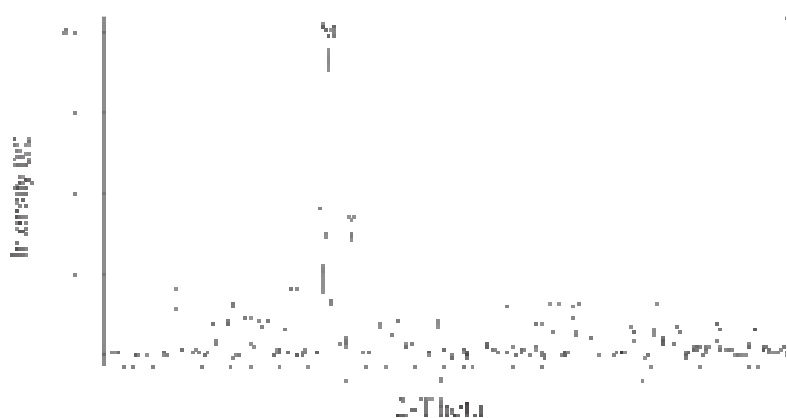
جدول ۱ نتایج تجزیه شیمیایی پرلیت میانه به روش XRF

اکسیدها	Wt (%)	مواد	Wt(ppm)
SiO ₂	۷۰.۵۵	U	۴۸۰
Al ₂ O ₃	۱۱.۸۷	Ti	۱۰۵۰۰
K ₂ O	۴.۵۴۲	Ba	۷۴۰۰
Na ₂ O	۲.۷۶۱	Cu	۳۸۰
CaO	۰.۹۹	Hf	۳۲۰
Fe ₂ O ₃	۰.۷۲	Co	۳۰۰
MgO	۰.۳۰۸	Cr	۹۴۰
TiO ₂	۰.۱۷۶	Zn	۴۶۰
MnO	۰.۰۷۷	Nb	۴۰۰
P ₂ O ₅	۰.۰۷۵	Cs	۴۰۰
		Rb	۱۱۰۰۰
		Cl	۳۲۰۰۰
		S	۷۰۰۰
		Zr	۱۵۰۰۰
		Ni	۸۸۰
		V	۱۵۰۰
		Y	۱۱۰۰
		P	۳۳۰۰۰
		Sr	۱۰۰۰۰
		Pb	۲۲۰۰

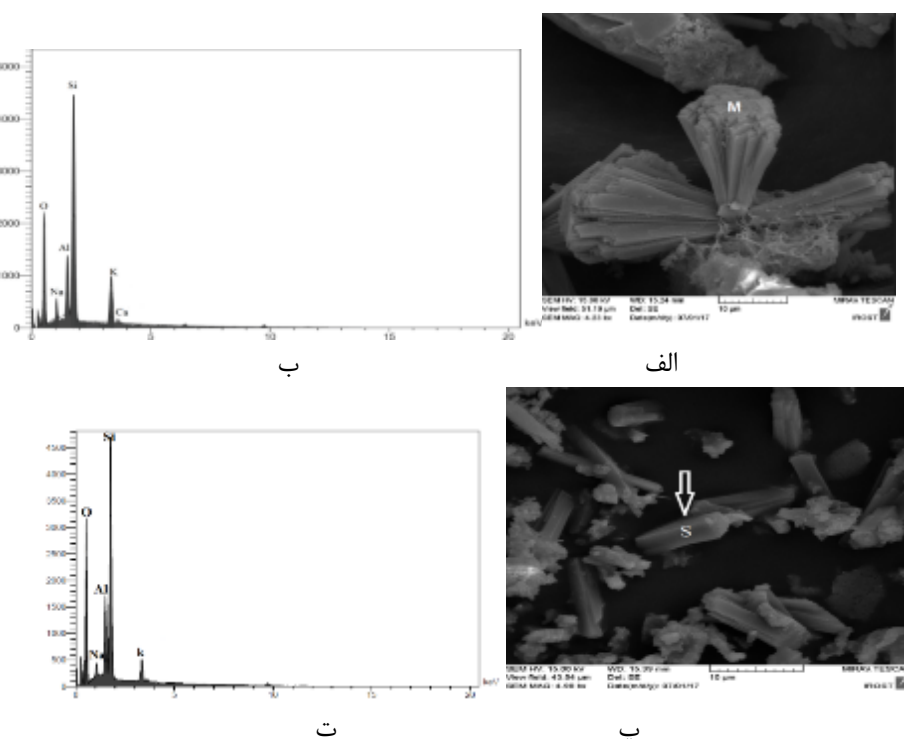
شده‌اند. در شکل ۷ الف تصویر میکروسکوپ الکترونی روبشی نمونه‌ی TP1 نشان داده شده است. با توجه به این شکل و نتایج تجزیه نقطه‌ای EDX (جدول ۲ و شکل ۷ ب)، نمونه TP1 زئولیت مارلینویت است. در شکل‌های ۷ پ و ب و جدول ۳ به ترتیب تصویر میکروسکوپ الکترونی روبشی و نتایج تجزیه نقطه‌ای EDX کانی سانیدین موجود در پرلیت که بخشی از آن همچنان همراه با نمونه تولید شده در این مرحله باقی مانده آورده شده است.

بحث و بررسی

بررسی الگوی تک سویه‌ی XRD فرآورده‌های جامد به دست آمده نشان می‌دهد که در سری اول آزمایش‌ها یعنی با غلظت ۰/۲۵ مول بر لیتر LiOH (نمونه‌ی TP1)، کانی مارلینویت در نتیجه‌ی تغییر فاز پرلیت اولیه تشکیل شده است (شکل ۶). همچنین مقداری از کانی‌های آلبیت و سانیدین (کانی‌های تشکیل دهنده‌ی پرلیت) نیز باقی مانده‌اند. به عبارتی، در نمودار فرآورده‌های واکنش، از شدت قله‌های ماده اولیه کاسته شده و قله‌های جدیدی که نشان دهنده‌ی تشکیل زئولیت مارلینویت است نمایان



شکل ۶ الگوی XRD نمونه‌ی TP1 سنتز شده در حضور LiOH با غلظت ۰/۲۵ مول بر لیتر، در دمای ۱۵۰ درجه‌ی سانتی‌گراد برای ۷۲ ساعت. (M: مارلینویت، S: سانیدین و A: آلیت).



شکل ۷ الف) تصویر SEM از مولینویت در نمونه M در شکل الف، که نشانگر ترکیب شیمیایی مولینویت سنتزی در نمونه‌ی TP1 است. ب) تصویر SEM مربوط به کانی سانیدین (کانی تشکیل دهنده‌ی پرلیت) در نمونه TP1 و ت) طیف EDX مربوط به گستره S در شکل پ که نشانگر ترکیب شیمیایی سانیدین سنتزی در نمونه‌ی TP1 است.

جدول ۲ نتایج EDX مولینویت در نمونه‌ی TP1 (غلظت ۰/۲۵ مول بر لیتر LiOH) که درصد وزنی عناصر سازنده این ترکیب را در گستره M نشان می‌دهد.

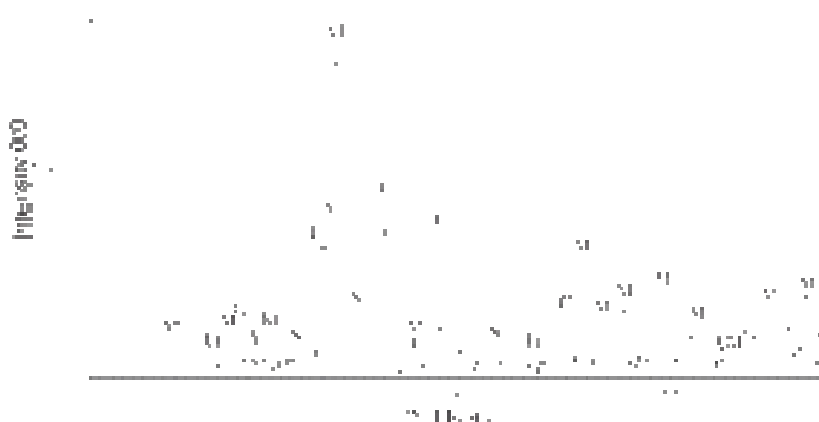
عنصر	سری	[Wt.-%]	اتم [at.-%]
O	K	۱۹/۷۵	۳۱/۸۷
Al	K	۱۰/۱۰	۹/۶۷
Si	K	۴۶/۹۳	۴۳/۱۵
K	K	۲۱/۴۹	۱۴/۱۹
Ca	K	۱/۷۴	۱/۱۲
مجموع		%۱۰۰	

جدول ۳ نتایج EDX سانیدین موجود در نمونه TP1 (غلظت ۰/۲۵ مول بر لیتر LiOH) که درصد وزنی عناصر سازنده این ترکیب را در گستره S نشان می‌دهد.

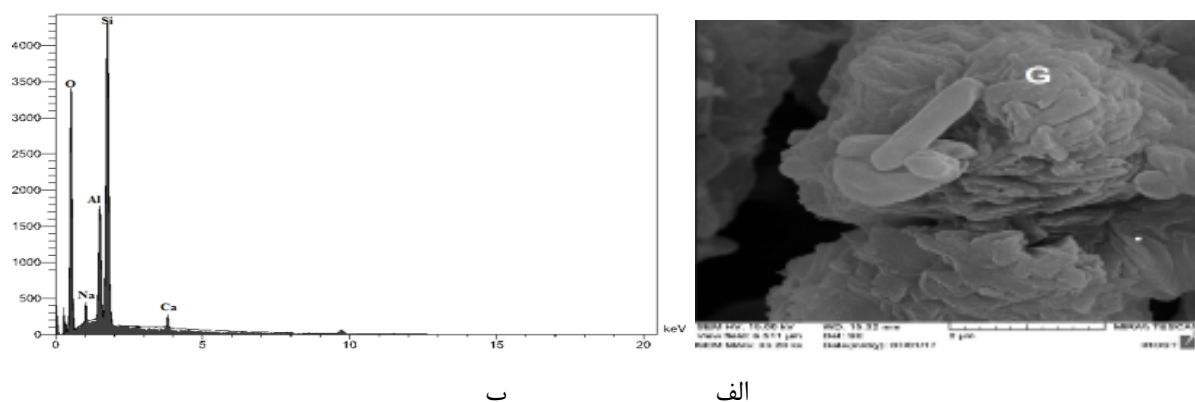
عنصر	سری	[Wt.-%]	اتم [at.-%]
O	K	۵۳/۳۲	۶۷/۰۲
Na	K	۲/۰۱	۱/۷۶
Al	K	۸/۶۲	۶/۴۳
Si	K	۳۰/۹۸	۲۲/۱۹
K	K	۵/۰۶	۲/۶۰
مجموع%		۱۰۰	

نمونه‌ی TP2 (شکل ۹ الف) و نتایج تجزیه نقطه‌ای EDX فراورده‌های سنتزی (شکل ۹ ب و جدول ۴)، این امر را تایید می‌کنند.

الگوی تک سویه‌ی XRD در شکل ۸ نشان می‌دهد که با افزایش غلظت LiOH به 0.5 مول بر لیتر (نمونه‌ی TP2) زئولیت ژیسموندین نیز افزون بر مولینویت تشکیل شده است. همچنین تصویر میکروسکوپ الکترونی روبشی



شکل ۸ الگوی XRD نمونه‌ی TP2 سنتز شده در حضور LiOH با غلظت 0.5 مول بر لیتر در دمای 150 درجه سانتی گراد برای 72 ساعت. (G: ژیسموندین، M: مولینویت، S: سانیدین، A: آلبیت).



شکل ۹ الف) تصویر SEM کانی ژیسموندین در نمونه ۲ TP2 و ب) طیف EDX از گستره G در شکل الف که نشانگر ترکیب شیمیایی ژیسموندین در نمونه‌ی TP2 است.

جدول ۴ نتایج EDX ژیسموندین تبلور یافته در TP2 (غلظت 0.5 مول بر لیتر LiOH) که درصد وزنی عناصر سازنده این ترکیب را در گستره G نشان می‌دهد.

عنصر	سری	[Wt.-%]	اتم [at.-%]
O	K	۵۰.۳۲	۶۱.۳۲
Na	K	۴.۹۲	۴.۵۰
Al	K	۱۰.۹۵	۹.۸۹
Si	K	۲۸.۷۱	۲۱.۷۹
Ca	K	۵.۱۰	۲.۵۰
مجموع		۱۰۰	

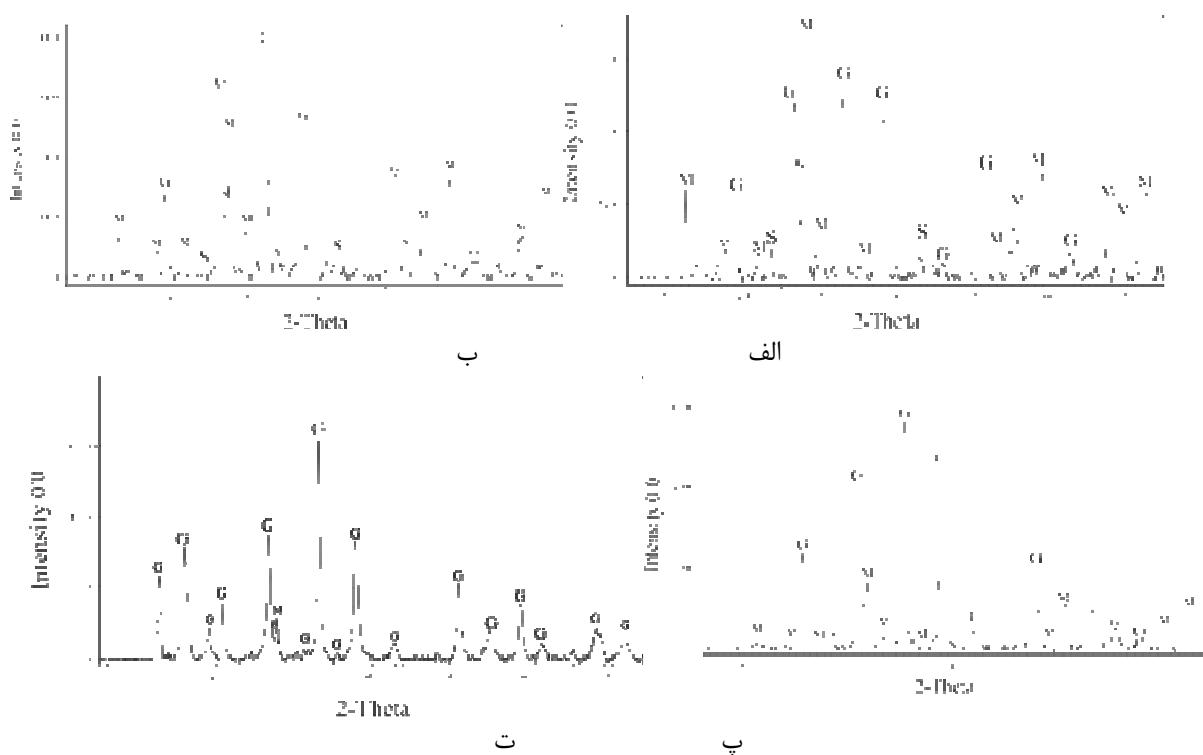
شیمیایی و بررسی درصد وزنی عناصر در شکل ۱۱ ب و جدول ۵ ارائه شده است.

براساس فرمول شیمیایی کانی مارلینویت $(K, Ca, Na, Ba)7Si_{23}Al_9O_{64}23(H_2O)$ ، پاتاسیم و کلسیم از کاتیون های اصلی این کانی هستند، ولی امکان جایگزینی کاتیون های Na و Ba نیز وجود دارد. جایگاه کاتیون K در ساختار کانی مارلینویت در شکل ۱۲ قابل مشاهده است [۲۷].

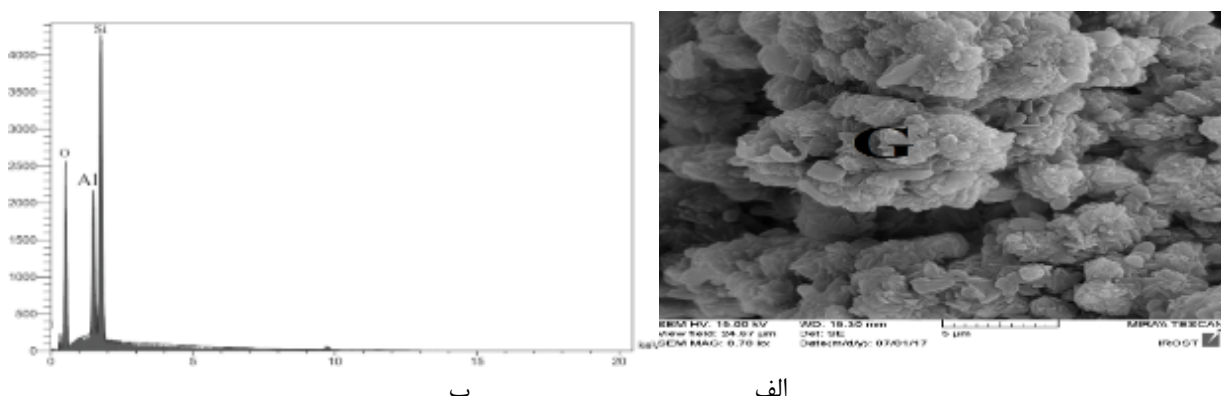
در نخستین آزمایش (نمونه TP1)، با افزودن ۰/۲۵ مول بر لیتر $LiOH$ به ماده اولیه، پرلیت دچار انحلال بخشی شده و در پی ورود Al و کاتیون های پاتاسیم و کلسیم (موجود در کانی های آلبیت و سانیدین) به محلول، شرایط برای سنتز مارلینویت فراهم شده است. در ادامه با افزایش غلظت $LiOH$ به ۱ مول بر لیتر (نمونه TP4)، شدت قله مارلینویت افزایش یافته است، ولی در غلظت های بیشتر $LiOH$ (تا ۳ مول بر لیتر)، روند کاهش سنتز مارلینویت در همه نمونه ها دیده می شود.

با افزایش غلظت $LiOH$ در نمونه های TP7، TP4 و TP10 که به ترتیب مربوط به غلظت های ۱، ۱/۷۵ و ۲/۵ مول بر لیتر هستند، فراوانی ژیسموندین رو به افزایش نهاده و بر عکس از فراوانی مارلینویت کاسته شده است (شکل های ۱۰ الف تا پ). در نمونه های TP7، TP4 و TP10، کانی آلبیت موجود در پرلیت اولیه دچار انحلال کامل شده در حالی که قله مربوط به کانی سانیدین کماکان قابل مشاهده است. در ادامه با افزایش بیشتر غلظت $LiOH$ به ۳ مول بر لیتر، تشکیل ژیسموندین در نمونه TP12 به اوج خود و در همین حال، تشکیل مارلینویت به کمترین مقدار رسیده است (شکل ۱۰ ت).

در شکل ۱۱، تصویر میکروسکوپ الکترونی رویشی ژیسموندین سنتز شده نشان داده شده است. گفتتنی است که در همه آزمایش ها با افزایش غلظت هیدروکسید لیتیم، به تدریج از شدت قله کانی سانیدین کاسته شده ولی کاملاً از بین نرفته است. نتایج تجزیه EDX فرآورده های سنتزی نمونه TP12 به منظور شناسایی ترکیب



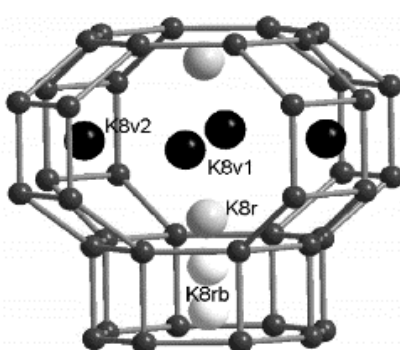
شکل ۱۰ الگوی XRD (الف) نمونه TP4 سنتز شده در دمای ۱۵۰ درجه سانتی گراد در حضور $LiOH$ به غلظت ۱ مول بر لیتر برای ۷۲ ساعت. (ب) نمونه TP7 سنتز شده در دمای ۱۵۰ درجه سانتی گراد در حضور $LiOH$ به غلظت ۱/۷۵ مول بر لیتر برای ۷۲ ساعت. (پ) نمونه TP10 تهییه شده در دمای ۱۵۰ درجه سانتی گراد در حضور $LiOH$ به غلظت ۲/۵ مول بر لیتر برای ۷۲ ساعت. (ت) نمونه TP12 تهییه شده در دمای ۱۵۰ درجه سانتی گراد در حضور $LiOH$ به غلظت ۳ مول بر لیتر برای ۷۲ ساعت در این شکل ها، M نشانگر مارلینویت، S سانیدین و G ژیسموندین است.



شکل ۱۱ تصویر SEM مربوط به کانی ژیسموندین در نمونه TP12 و ب) طیف EDX از گستره G در شکل الف که نشانگر ترکیب شیمیایی ژیسموندین در نمونه TP12 است.

جدول ۵ نتایج EDX ژیسموندین تبلور یافته در نمونه TP12 (غلظت ۳ مول بر لیتر LiOH) که درصد وزنی عناصر سازنده این ترکیب را در گستره G نشان می‌دهد.

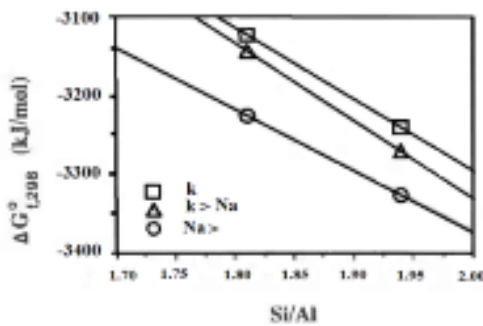
عنصر	سری	[Wt.-%]	atom [at.-%]
O	K	۵۱,۳۲	۶۷,۶۲
Na	K	.	.
Al	K	۱۳,۹۰	۱۲,۶۴
Si	K	۳۴,۷۸	۲۴,۶۹
Ca	K	.	.
مجموع		۱۰۰	



شکل ۱۲ جایگاه کاتیون K در ساختار کانی مارینویت [۲۷].

بنابراین، فاز ناشی از تبلور محلول دارای نسبت Al/Si پایین تراز فاز اولیه است [۴۳]. از این رو، در مارینویت با افزایش pH محیط، نسبت Al/Si کاهش یافته است. لیو [۴۳] در مورد پایداری کانی مارینویت نشان داد که با کاهش Al/Si، انرژی آزاد گیبس این کانی افزایش یافته (شکل ۱۳) و در نتیجه شرایط ناپایداری آن فراهم می‌شود [۴۳].

مارینر و سوردام [۴۲] دربارهٔ تشکیل یک فاز با مقدار سیلیس کم در محلول‌های قلیایی نشان دادند که وقتی شیشه و سنگ‌های آتشفسانی در محلول‌های قلیایی حل می‌شوند، با این که هم غلظت سیلیکا و هم آلومینا با افزایش pH، در محلول افزایش می‌یابد، ولی به دلیل افزایش سریع تر آلومینا نسبت به سیلیکا، نتیجهٔ نهایی این روند کاهش نسبت Al/Si محلول با افزایش pH است.



شکل ۱۳ نقش Si/Al و انرژی آزاد گیبس در تشکیل کانی مارلینویت [۴۳].

بر و وايت به منظور در ک شرایط تشکیل و گوناگونی انواع ترکیب‌های لیتیم‌دار برای نخستین بار در سال ۱۹۵۱ آلومینوسیلیکات‌ها را به روش گرمایی سنتز کرده و امکان تبلور زئولیت‌های لیتیم‌دار از ژل شامل لیتیم، آلومینیم و سیلیسیوم را بررسی کردند [۱۰]. نتایج این پژوهشگران نشان داد که کوچکی یون لیتیم و ساختار باز زئولیت‌ها طی فرآیند شکل‌گیری و تبلور زئولیت‌های لیتیم‌دار، با یکدیگر همخوانی کامل دارند و نایاب بودن آلومینوسیلیکات‌های طبیعی در بردارنده لیتیم به دلیل کم بودن مقدار این عنصر نسبت به عناصری مانند سدیم و پتاسیم در پوسته زمین است [۱۰]. بنابراین می‌توان نتیجه گرفت که در شرایط آزمایشگاهی، در صورت فراهم شدن غلظت‌های مناسبی از یون لیتیم در محیط، امکان شکل‌گیری انواع گوناگونی از زئولیت‌های لیتیم‌دار وجود دارد.

برداشت

هدف از به کارگیری محلول‌های قلیایی و برقراری pH بالا در محیط، ایجاد شرایطی برای انحلال پرلیت اولیه است. بنابراین با ایجاد شرایط قلیایی، سیلیس موجود در ساختار پرلیت شروع به انحلال می‌کند و میزان انحلال آن بستگی به غلظت محلول قلیایی هیدروکسید لیتیم دارد. با افزایش غلظت محلول LiOH، همراه با افزایش مقدار کاتیون Li^+ ، pH محیط افزایش می‌یابد. با گذشت زمان، مقادیر بالای pH موجب ناپایداری و انحلال ساختارهای اولیه (چاروجهی) مواد شرکت کننده در واکنش‌ها شده و در نتیجه گسیختگی پیوندهای چاروجهی می‌شود. به تدریج با پیشروعی واکنش در سیستم بسته، روند کاهشی pH محیط به حالت خنثی و گاهی کمی اسیدی نزدیک می‌شود. در صورت باز بودن سیستم این واکنش‌ها، سیلیس انحلال یافته به صورت محلول از سیستم خارج می‌شود. در غیر این صورت، بار دیگر کاتیون‌های موجود در محیط آزمایش (Li^+) واکنش داده و

در نمونه‌ی TP2 که غلظت LiOH از ۰/۰۵ مول بر لیتر رسیده، قلهای جدید مربوط به زئولیت ژیسموندین ظاهر شده است. زئولیت ژیسموندین در طبیعت از نوع کلسیم‌دار است، ولی پژوهشگران بسیاری افزون بر ژیسموندین کلسیم‌دار موفق به سنتز ژیسموندین سدیم‌دار نیز شده‌اند [۴۰]. در این پژوهش، از برهم کنش ماده اولیه‌ی پرلیت با محلول قلیایی LiOH در دمای ثابت ۱۵۰ درجه سانتی‌گراد به مدت ۷۲ ساعت، موفق به سنتز زئولیت لیتیم‌دار ژیسموندین شده‌ایم. با توجه به افزایش پیشرونده و تدریجی غلظت هیدروکسید لیتیم در مراحل مختلف آزمایش (از ۰/۰۵ تا ۳ مول بر لیتر) و اندازه بسیار کوچک شعاع یونی لیتیم نسبت به سدیم و کلسیم و همچنین با توجه به کم بودن مقدار سدیم و کلسیم موجود در پرلیت، لیتیم توانسته است با ورود به شبکه ژیسموندین، امکان سنتز ژیسموندین لیتیم‌دار را فراهم نماید.

به علت فراوانی کم عنصر لیتیم در طبیعت، ژیسموندین لیتیم‌دار در طبیعت تشکیل نمی‌شود، ولی با این که کانی ادینگتونیت یک زئولیت باریم‌دار طبیعی است، ماتسوموتو و همکاران [۴۴] موفق به سنتز ادینگتونیت لیتیم‌دار از ژل سیلیس-آلومینیوم در حضور محلول قلیایی LiOH شدند. در پژوهش حاضر با افزایش غلظت هیدروکسید لیتیم، ژیسموندین بیشترین غلظت LiOH (۳ مول بر لیتر) انجام شد، در ترکیب فرآورده سنتزی براساس نتایج EDX، فقط آلومینیم، سیلیسیوم و اکسیژن شناسایی شده است (شکل ۱۱ ب)، چرا که شعاع اتمی بسیار کوچک لیتیم مانع تشخیص آن به روش EDX می‌شود.

- Iranian Journal of Crystallography and Mineralogy 8 (2000) 107-16.
- [6] Król M., Morawska J., Mozgawa W., Pichór W., "Low-temperature synthesis of zeolite from perlite waste—part I: review of methods and phase compositions of resulting products", Materials Science-Poland 32 (2014) 503-513.
- [7] Tangkawanit S., Rangsriwatananon W., Dyer A., "Ion exchange of Cu²⁺, Ni²⁺, Pb²⁺ and Zn²⁺ in analcime (ANA) synthesized from Thai perlite", Microporous and Mesoporous Materials 79 (2005) 171-175.
- [8] Barth-Wirsching U., Höller H., Höller D., Konrad B., "Synthetic zeolites formed from expanded perlite: type, formation conditions and properties", Mineralogy and Petrology 48 (1993) 275-294.
- [9] Rujiwattra A., "A selective preparation of pHillipsite and sodalite from perlite", Materials Letter 58 (2004) 2012-2015.
- [10] Barrer R.M., White E.A.D., "The hydrothermal chemistry of silicates. Part I. Synthetic lithium aluminosilicates", Journal of the Chemical Society (1951) 1267-1278.
- [11] Zhitong Y., Ying Y., Meisheng X., "Synthesis and characterization of lithium zeolites with ABW type from coal fly ash", Environmental Progress & Sustainable Energy 32 (2013) 790-796.
- [12] Sathupunya M., Erdogan G., Wongkasemjith S., "Microwave preparation of Li-zeolite directly from alumatrane and silatrane", Materials chemistry and physics 83 (2004) 89-95.
- [13] Matsumoto T., Miyazaki T., Goto Y., "Synthesis and characterization of Li-type EDI zeolite", Journal of the European Ceramic Society 26 (2006) 455-458.
- [14] White J.D.L., "Volcanic textures: a guide to the interpretation of textures in volcanic rocks", Journal of Volcanology and Geothermal Research (1994) 412-413.
- [15] Friedman I., Smith R.L., "The deuterium content of water in some volcanic glasses", Geochimica et Cosmochimica Acta 15 (1958) 218-228.
- [16] McPhie J., Doyle M., Allen R., "Volcanic textures: a guide to the interpretation of textures in volcanic rocks", Centre for Ore Deposit and Exploration Studies, University Tasmania (1993) 196.
- [17] Friedman I.R.L., William D. "Hydration of natural glass and formation of perlite", Geological Society of America Bulletin 77 (1966) 323-328.
- [18] Marshall R.R., "Devitrification of natural glass", Geological Society of America Bulletin 72 (1961) 1493-1520.

پیوندهای جدیدی را تشکیل می‌دهند که موجب سنتز فرآورده‌های جانبی می‌شود. بنابر این با توجه به شرایط غلظت و دما، زئولیتها و کانی‌های سنتزی مفید با مقادیر سیلیسیوم کمتر و پایدار در شرایط یاد شده تشکیل می‌شوند.

بررسی‌های انجام شده در این پژوهش نشان می‌دهد که کانی مرلینویت در کمترین غلظت هیدروکسید لیتیم دارای بیشترین نسبت Si/Al و در نتیجه بیشترین پایداری است و در ادامه با افزایش pH محیط، نسبت Si/Al کاهش یافته و موجب ناپایداری این کانی شده است. با افزایش غلظت LiOH و با حضور کاتیون‌های Na⁺ و Ca²⁺ آزاد شده از ماده‌ی اولیه، شرایط برای تشکیل ژیسموندین شامل این سه کاتیون فراهم شده است. با افزایش هرچه بیشتر غلظت Li⁺ و کم بودن نسبی مقدار Na⁺ و Ca²⁺ موجود در محیط، با توجه به کوچک بودن یون لیتیم نسبت به Na⁺ و Ca²⁺ همچنین ساختار باز زئولیتها، شرایط برای تشکیل ژیسموندین لیتیم‌دار فراهم شده است.

قدرتمندی

برخود لازم می‌دانیم یاد و خاطره داشتمند فقید مرحوم دکتر فرامرز طوطی که در زمان حیات خود اطلاعات ارزنده‌ای را برای به ثمر رسیدن این پژوهش ارائه نمودند، گرامی بداریم. همچنین از جناب آقای مهندس محمد علی برقی و سایر کارشناسان آزمایشگاه مرکزی دانشگاه تهران به خاطر انجام بررسی‌های دستگاهی کمال تشکر را داریم.

مراجع

- [1] Tutti F., Pourasad F., Badei A., Barghi M.A., "Synthesis of zeolite due to the change of kaolinite hydrothermal phase under the influence of barium and sodium hydride solutions", Iranian Journal of Crystallography and Mineralogy 23 (2015) 443-52.
- [2] Tutti F., Kamyab M., Barghi M.A., Badei A., "Phase transition of clinoptilolite to edingtonite and harmotome in the alkaline hydrothermal conditions", Iranian Journal of Crystallography and Mineralogy 19 (2012) 725-734.
- [3] Aghabozorg H.R., Salehi Rad F., Aghazgar H., Sadat Sharif M., "Synthesis and characterization of zeolite P using technical-grade materials", Iranian Journal of Crystallography and Mineralogy 9 (2001) 47-58.
- [4] Zanjanchi M.A., Omranikhah J., "Synthesis of faujasite zeolite and studing of Its microcrystals", Iranian Journal of Crystallography and Mineralogy 3 (1995) 45-56.
- [5] Aghabozorg H.R., Ghasemi M.R., Salehi Rad F., Attar nejad M.A., "Investigation of parameters affecting zeolite naa crystal size and morphology",

- [33] Colella C.A., Aiello R., Diludovico V., "Sulla merlinoite sintetica", Rendiconti della Societa Italiana di Mineralogia e Petrologia 33 (1977) 511-518.
- [34] Kawano M., Tomita K. "Experimental Study on the Formation of Zeolites from Obsidian by Interaction with NaOH and KOH Solutions at 150 and 200 C", Clays and Clay Minerals 45 (1997) 365-377.
- [35] Huann-Jih, L., Jyr-Ching H., Sheng-Rong S., Lih-Jiun L., "Synthesis of Merlinoite from Andesitic Tuff under Hydrothermal Conditions", Journal of the Geological Society of China 42 (1999) 125-142
- [36] Taylor A.M., Roy R., "Zeolite studies 4-na-p zeolites+ ion-exchanged derivatives of tetragonal na-p." American Mineralogist 49 (1964) 656.
- [37] Ghobarkar H., Schäf O., Guth U., "The use of the high pressure hydrothermal method for tailored synthesis of zeolites without structure directing agents. Instance: Synthesis of natural zeolites with 5-1 building units", International Journal of High Pressure Research 20 (2001) 45-53.
- [38] Albert B.R., Cheetham A. K. "A synchrotron X-ray powder diffraction study of highly crystalline low-silica zeolite P during Na-Ca ion exchange", Microporous and mesoporous materials 34 (2000) 207-211.
- [39] Khodabandeh S., Davis M.E., "Alteration of perlite to calcium zeolites", Microporous materials 9 (1997) 161-172.
- [40] Kongkachuichay P., Lohsoontorn P., "Phase diagram of zeolite synthesized from perlite and rice husk ash", ScienceAsia 32 (2006) 13-16.
- [41] Gualtieri A.F., "Synthesis of sodium zeolites from a natural halloysite", Physics and Chemistry of Minerals 28 (2001) 719-728.
- [42] Mariner R.H., Surdam R.C., "Alkalinity and formation of zeolites in saline alkaline lakes", Science 170 (1970) 977-980.
- [43] Liou J.G., "Thermochemical data for merlinoite: 2. Free energies of formation at 298.15 K of six synthetic samples having various Si/Al and Na/(Na⁺/K) ratios and application to saline, alkaline lakes", American Mineralogist 75 (1990) 201-208.
- [44] Matsumoto T., Miyazaki T., Goto Y., "Synthesis and characterization of Li-type EDI zeolite", Journal of the European Ceramic Society 26 (2006) 455-458.
- [19] Ross C.S., "Water and other volatiles in volcanic glasses", America Mineralogist 40 (1955) 1071-1087.
- [20] Mumpton F.A., "Mineralogy and geology of natural zeolites", Mineralogical Society of America 4 (1977) 233.
- [21] Baturin S.V., Sidorenko G.A., "Crystal structure of wicksite ($K_0.62Na_{0.38}2(UO_2)2[Si_5O_{13}]3H_2O$ ", Soviet Physics Doklady 30 (1985) 435-437.
- [22] Donahoe R.J., Ltou J.G. "Synthesis and characterization of zeolites", Clays and Clay Minerals 32 (1984) 433-443.
- [23] Braithwaite R.L., "Geological and mineralogical characterization of zeolites in lacustrine tuffs, Ngakuru, Taupo Volcanic Zone, New Zealand", Clays and Clay Minerals 51 (2003) 589-598.
- [24] Kristmannsdottir H., Tomasson J. "Zeolite zones in geothermal areas in Iceland", In: Sand, L.B., and Mumpton F.A., (editors) "Natural zeolites, occurrence, properties, use", Pergamon Press Ltd (1978) 277-284.
- [25] Baerlocher Ch., McCusker L.B., Olson D.H., "Atlas of zeolite framework types", Elsevier (2007) 398.
- [26] Fischer K.F., Schramm V. "Crystal structure of gismondite, a detailed refinement", Advances in Chemistry Series 101 (1971) 250-258.
- [27] Skofteland B.M., Henrik O., Lillerud K.P., "Potassium merlinoite: crystallization, structural and thermal propertie", Microporous and Mesoporous Materials 43 (2001) 61-71.
- [28] Sherman J. "Synthetic zeolites and other microporous oxide molecular sieves", Proceedings of the National Academy of Sciences 96 (1999) 3471-3478.
- [29] Barrer R.M., "Hydrothermal chemistry of zeolites", Academic Press London (1982) 360.
- [30] Donahoe R.J., Ltou J.G., "Synthesis and characterizatiati, on of zeolites", Clays and Clay Minerals 32 (1984) 433-443.
- [31] Bosmans H.J., Tambuyzer E., Paenhuis J., Ylen L., Vancluissen J., "Zeolite formation in the system $K_2O-Na_2O-Al_2O_3-SiO_2-H_2O$ ", Advances in Chemistry 121 (1973) 179-188.
- [32] Belhekar A. A., Chandwadkar A. J., Hegde S.G., "Physicochemical characterization of a synthetic merlinoite (Linde W-like) zeolite containing Na, K, and Sr cations", Zeolites 15 (1995) 535-539.